

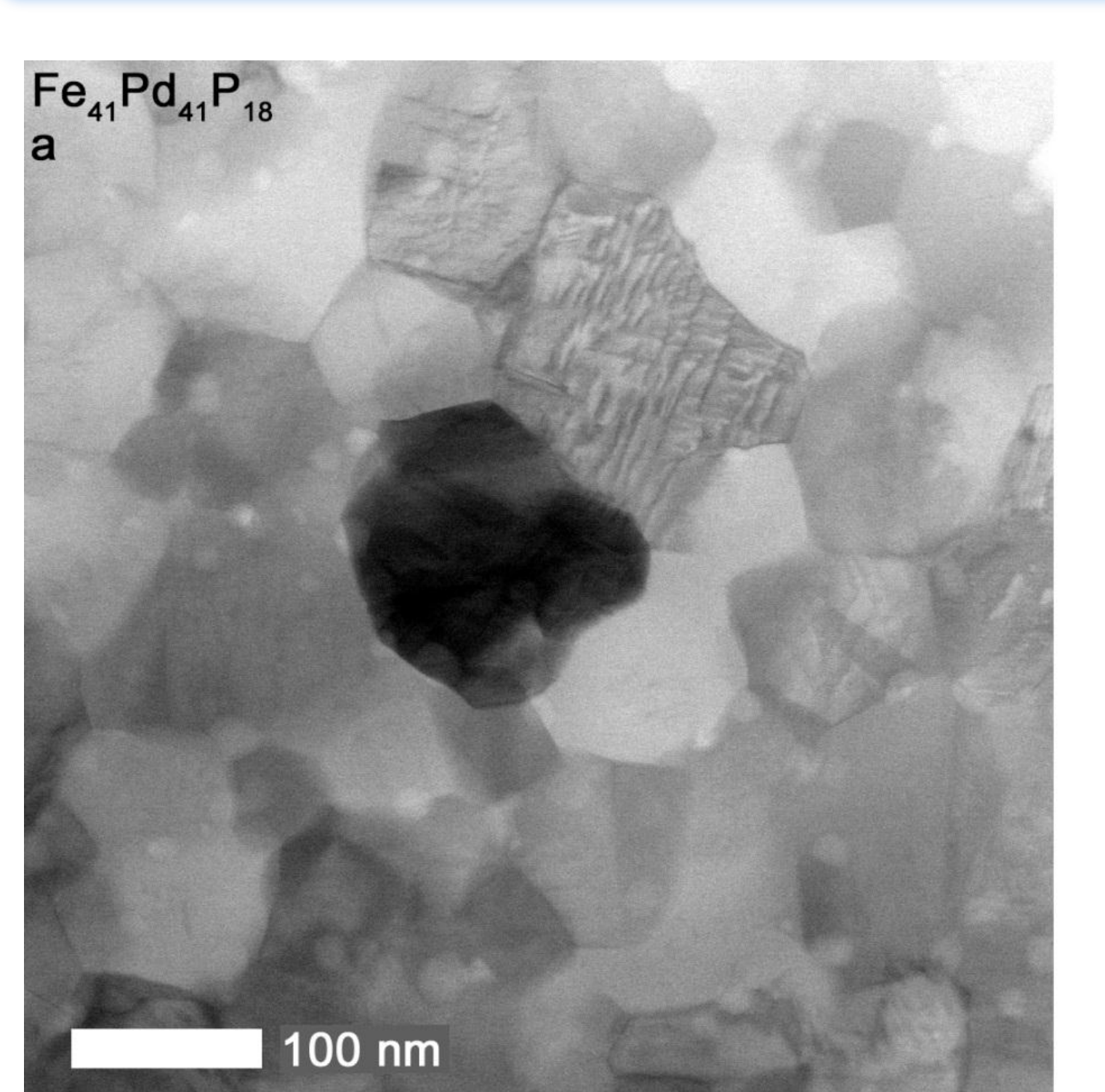
Магнитные свойства быстрозакаленных нанокристаллических сплавов Fe-Pd, легированных фосфором, бором и кремнием

Головня О.А., Власова Н.И., Попов А.Г., Гавико В.С.

Институт физики металлов имени М.Н. Михеева УрО РАН, Екатеринбург, Россия

Мотивация: Сплавы FePd, упорядочивающиеся в слоистую тетрагональную структуру типа $L1_0$ (рис. 1), подобно сплавам FePt, демонстрируют высокие значения константы магнитокристаллической анизотропии ($K \approx 2 \times 10^6$ Дж/м³), поля анизотропии ($\mu_0 H_a \approx 3.5$ Тл) и намагниченности насыщения ($\mu_0 M_s = 1.37$ Тл). При этом уровень коэрцитивной силы H_c после упорядочивающего отжига не превышает 5% от ее теоретического предела. Одним из способов повышения магнитных гистерезисных свойств сплавов является получение нанокристаллического состояния путем быстрой закалки. Однако при быстрой закалке бинарного FePd такое состояние не реализуется [1].

Цель *работы:* исследовать возможность получения нанокристаллической структуры путем легирования бинарного сплава FePd фосфором, бором и кремнием и влияние этих добавок на процесс фазового превращения и формирование магнитных гистерезисных свойств в быстрозакаленных сплавах FePd.



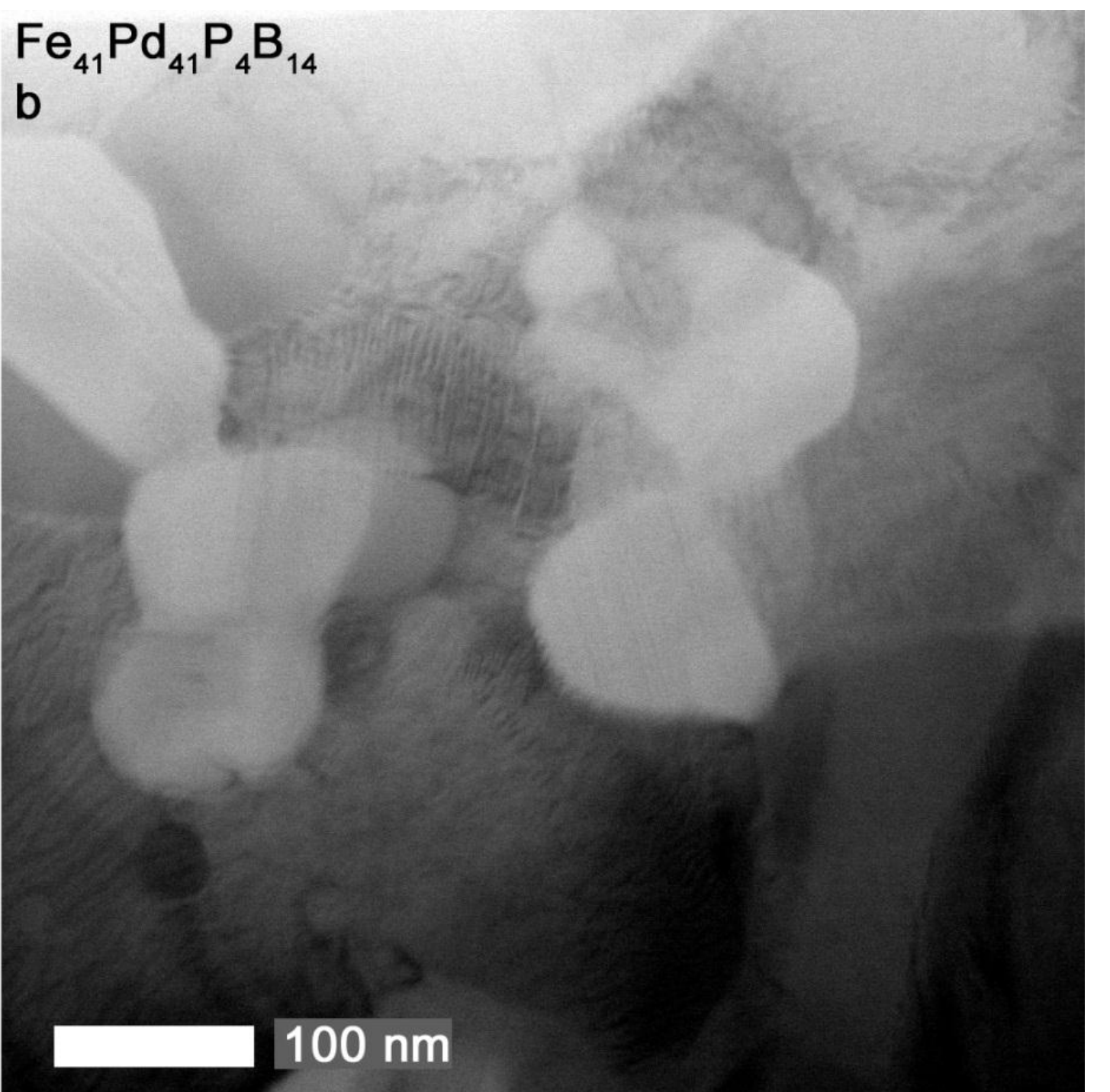


Рис. 2. ТЕМ-изображения микроструктуры лент $Fe_{41}Pd_{41}P_{18}$ и $Fe_{41}Pd_{41}P_{41}P_{14}$ после упорядочивающего

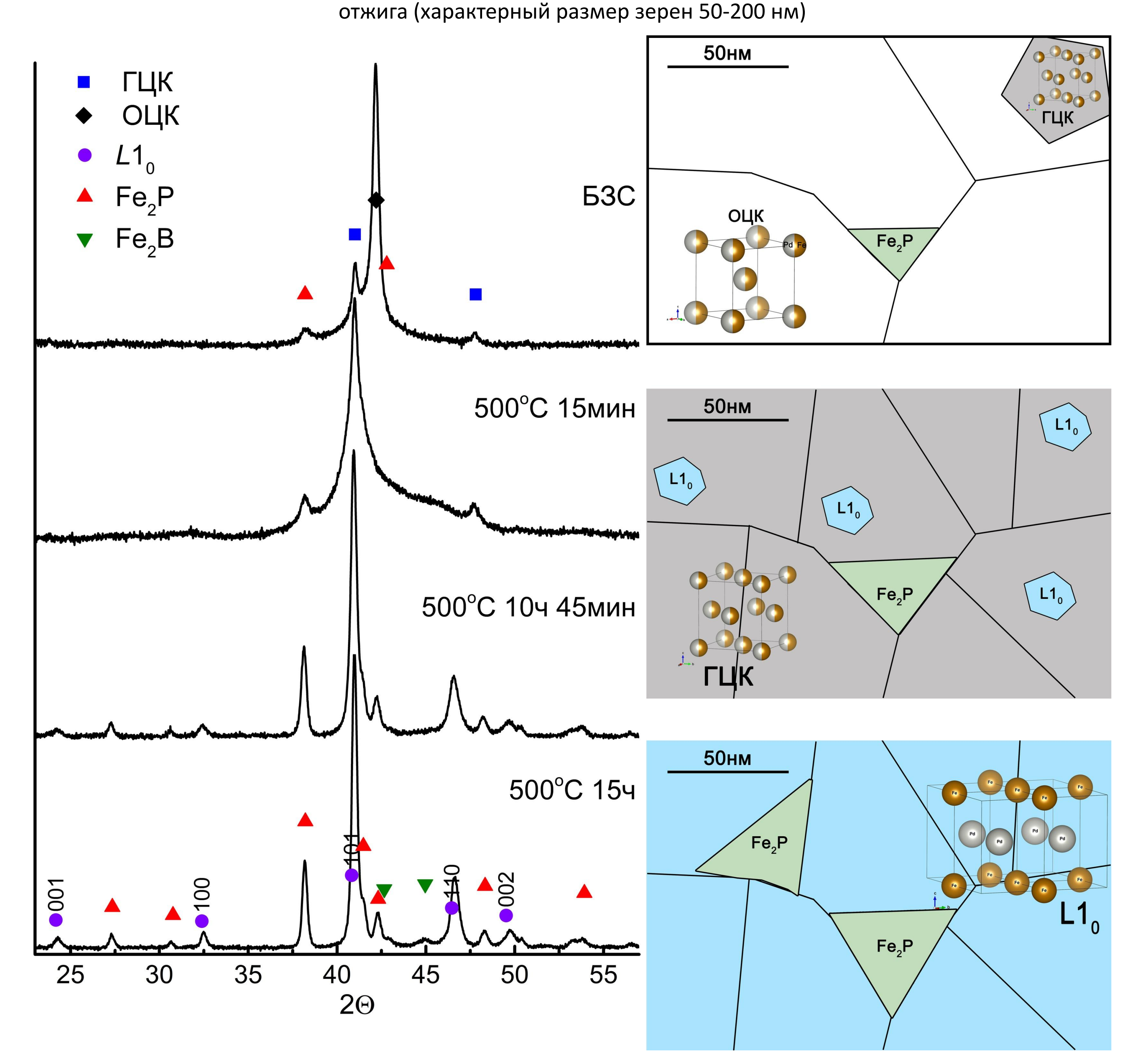
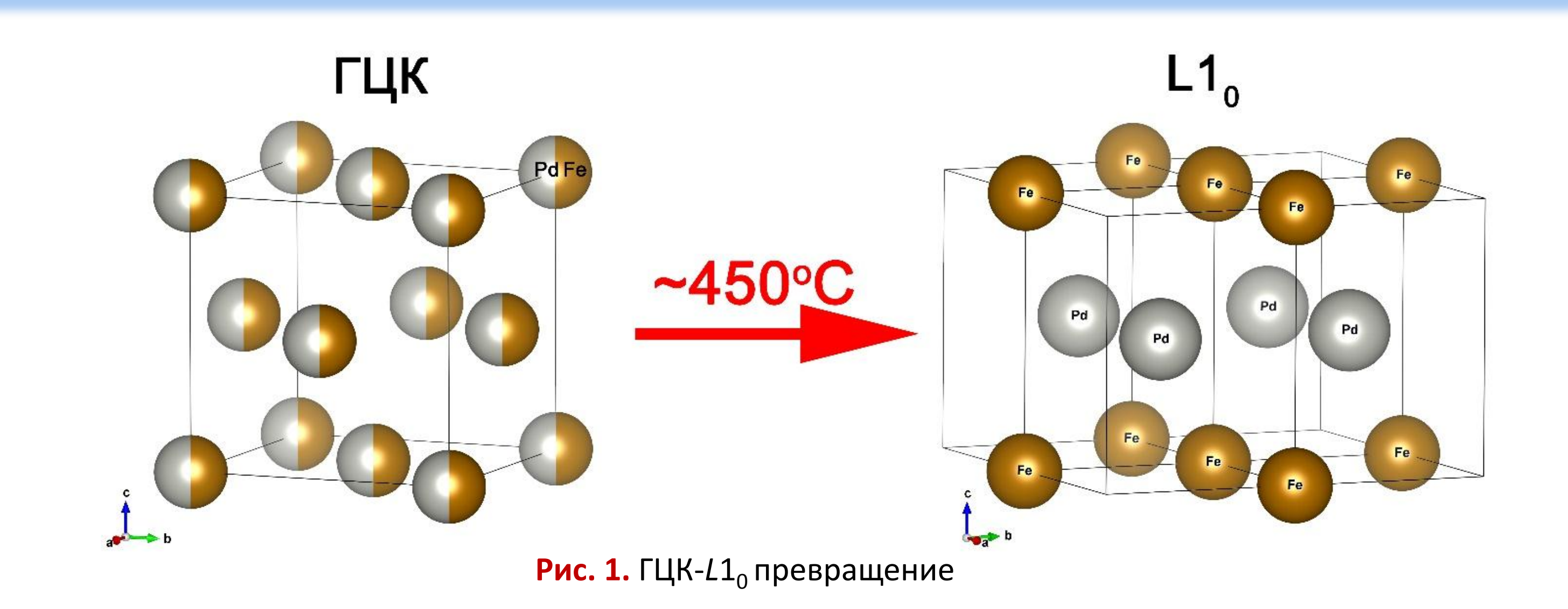


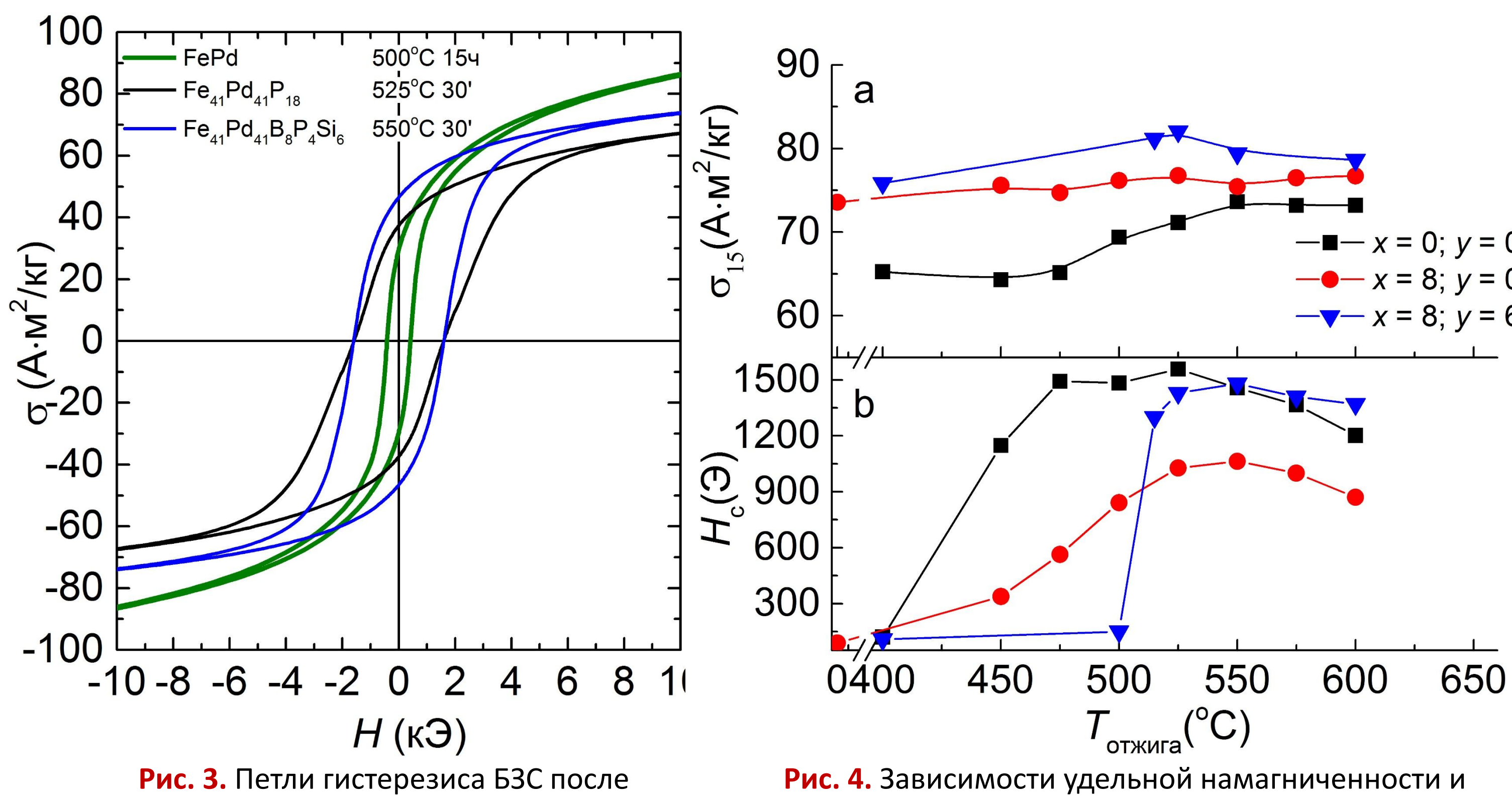
Рис. 5. Дифрактограммы и схемы микроструктур на разных стадиях отжига БЗС $Fe_{41}Pd_{41}P_4B_8Si_6$

Список литературы

- 1. N. I. Vlasova, A. G. Popov, N. M. Kleinerman, V. V. Serikov, V. S. Gaviko, and L. A. Stashkova, Philos. Mag. 99, 2198 (2019).
- 2. O. A. Golovnia, A. G. Popov, N. I. Vlasova, A. V. Protasov, V. S. Gaviko, V. V. Popov, and A. Kashyap, J. Magn. Magn. Mater. 481, 212 (2019).
- 3. O. A. Golovnia, N. I. Vlasova, A. G. Popov, V. S. Gaviko, V. V. Popov, A. V. Protasov, and A. Kashyap, Rare Met. 39, 76 (2020).



Методика Серия БЗС $Fe_{41}Pd_{41}P_{18-x-y}B_xSi_y$ (x=0-14; y=0,6) отжигалась при температурах $400-650^{\circ}C$ в течении от 5 минут до нескольких часов. Исходные литые сплавы и быстрозакаленные ленты были исследованы методами термомагнитного и рентгенографического анализов и сканирующей и электронной микроскопии [2, 3].



упорядочивающего отжига при оптимальных температурах

Рис. 4. Зависимости удельной намагниченности и коэрцитивной силы БЗС $Fe_{41}Pd_{41}P_{18-x-y}B_xSi_y$ от температуры отжига в течение 15 минут

Результаты

- 1. Легирование сплава FePd бором, фосфором и кремнием приводит к ускорению фазового превращения (ГЦК $\to L1_0$).
- 2. Добавка Р осуществляет практически полную аморфизацию БЗС $Fe_{41}Pd_{41}P_{18}$ и способствует сильному измельчению зерна фазы $L1_0$, формирующейся в процессе отжига (Рис. 2). Это приводит к повышению коэрцитивной силы по сравнению с бинарным сплавом, однако, значительно понижает намагниченность насыщения легированных фосфором сплавов (Рис. 3, 4).
- 3. Замещение части Р на В повышает намагниченность насыщения легированных сплавов, однако понижает их коэрцитивную силу. В свою очередь замещение части В на Si без изменения содержания Р уменьшает размер зерна и позволяет повысить коэрцитивную силу без снижения намагниченности (Рис. 3, 4).
- 4. Легирование сплава FePd фосфором, бором и кремнием позволило получить на лентах БЗС Fe₄₁Pd₄₁P₄B₈Si₆ коэрцитивную силу 1560 Э (Рис. 3). Это значение достигается за 30 минут отжига при *T* = 550°C, что в 2.6 раза превышает коэрцитивную силу быстрозакаленного эквиатомного сплава FePd и сравнимо по величине с максимальной *H*_c = 1800 Э, достигаемой при длительном низкотемпературном отжиге эквиатомного сплава FePd после интенсивной пластической деформации [1].
- 5. Установлено, что формирование нанокристаллической структуры в БЗС с оптимальным содержанием легирующих элементов ($Fe_{41}Pd_{41}P_4B_8Si_6$) сопровождается каскадом фазовых превращений (Рис. 5): (исходная ОЦК структура) \rightarrow (наноразмерные зерна ГЦК структуры и гексагональной фазы Fe_2P) \rightarrow (медленное образование зародышей фазы $L1_0$) \rightarrow (интенсивный рост зерен $L1_0$) [3].